



سنچش از دور

و

GIS ایران



سنچش از دور و GIS ایران سال سوم، شماره چهارم، زمستان ۱۳۹۰
Vol.3, No.4, Winter 2012

۷۲-۸۰

تخمین تولید مرتع با استفاده از داده‌های ماهواره IRS LISS III مطالعه موردي: منطقه تنگ صیاد، استان چهارمحال و بختيارى

اسلام زرينه^۱، اسماعيل اسدی بروجني^۲، مهدی نادری خوراسگاني^{۳*}

۱. دانشجوی کارشناسی ارشد مدیریت مرتع و آبخیز، دانشگاه شهرکرد
۲. استادیار دانشکده منابع طبیعی و علوم زمین، دانشگاه شهرکرد
۳. استادیار گروه خاکشناسی، دانشگاه شهرکرد

تاریخ پذیرش مقاله: ۱۳۹۱/۴/۲۴

تاریخ دریافت مقاله: ۱۳۸۹/۱۰/۱۳

چكیده

تولید مرتع در سطح گستره با روش‌های مرسوم هزینه‌بر است و زمان زیادی را طلب می‌کند. با توجه به معمول شدن استفاده از داده‌های ماهواره‌ای برای برآورد تولید مرتع در نقاط مختلف جهان، مطالعه حاضر به منظور ارزیابی داده‌های ماهواره IRS برای برآورد تولید گیاهان مرتعی در منطقه تنگ صیاد (استان چهارمحال و بختیاری) انجام گردید. داده‌های ماهواره‌ای در تاریخ ۹ اردیبهشت ۱۳۸۶ و نمونه‌های گیاهی در نزدیکترین زمان به تاریخ تصویربرداری برداشت شدند. سی واحد نمونه‌برداری در تیپ‌های مختلف گیاهی به صورت تصادفی مشخص شد و در هر واحد ۱۲ پلاس تصادفی مشخص گردید و تولید گروه‌های مختلف گیاهی گندمیان، گیاهان پهن برگ علفی (فرب‌ها) و بوته‌ها اندازه‌گیری شد. تصاویر ماهواره‌ای در ۴ باند تهیه و تصحیحات لازم انجام شد و ۲۳ شاخص معمول گیاهی به کمک ترکیب باندهای تصحیح شده محاسبه شدند. ضرایب همبستگی شاخص‌های گیاهی با تولید گندمیان، پهن برگان علفی و بوته‌ها، مجموع تولید گندمیان و پهن برگان علفی و مجموع تولید سه گروه گیاهی محاسبه شدند. نتایج نشان داد که شاخص گیاهی DVI بالاترین ضریب همبستگی را با تولید گندمیان و مجموع تولید گندمیان و پهن برگان علفی دارد، در حالی که شاخص NDVI بیشترین همبستگی را با تولید کل گیاهان منطقه نشان می‌دهد. همچنین شاخص NDVI بالاترین ضریب تبیین را برای تخمین تولید گیاهان مورد بررسی نشان داد. این مطالعه امکان برآورد تولید گندمیان و مجموع تولید گندمیان و پهن برگان علفی را با عدم قطعیت مورد قبولی به کمک داده‌های ماهواره‌ای نشان داد. رشد سبزینه‌ای محدود پهن برگان علفی و بوته‌ها در ابتدای فصل رشد به حدی نیست که به وسیله سنجنده ثبت گردد، لذا برآورد تولید این نوع گیاهان در این زمان با عدم قطعیت بسیاری همراه است. همچنین این مطالعه نشان داد که برای تخمین تولید گیاهان پهن برگ علفی، شاخص GNDVI و نسبت باند دوم به چهارم یا پنجم IRS را می‌توان به کار برد.

کلیدواژه‌ها: IRS LISS-III، تولید مرتع، شاخص‌های گیاهی، منطقه تنگ صیاد، چهارمحال و بختیاری.

*نویسنده مکاتبه کننده: شهرکرد، دانشگاه شهرکرد، دانشکده کشاورزی. تلفن: ۰۹۱۳۴۸۱۵۵۸۴

Email: naderi@agr.skac.ir

۱- مقدمه

به پارامترهای بیوفیزیکی حساس باشد. و در عین حال می‌باشد نسبتاً به نوشه^۱ ایجاد شده به وسیله زمینه تاج پوشش و تأثیرات اتمسفری غیرحساس باشد (جی و پیترز، ۲۰۰۷).

جیان لانگ و همکاران (۱۹۹۸) برای بررسی تخمین تولید گراسلند در چین، از تکنیک سنجش از دور و GIS استفاده کردند. نتایج پژوهش آنها همبستگی بزرگ‌تر از ۰/۶۷ را بین تولید علوفه تازه و شاخص‌های گیاهی^۲ RVI و^۳ NDVI برای چهار تیپ گراسلند نشان دادند و دقت کلی تخمین تولید با استفاده از سنجش از دور نیز بالاتر از ۷۵ درصد بود. بوتن و تایزن (۱۹۸۳) گزارش کردند که فناوری‌های انعکاس طیفی در جایی که مجموع پوشش گیاهی بیشتر از ۳۰ درصد است، می‌تواند برآورد مناسبی را از بیوماس گیاه در اکوسیستم‌های گراسلند ارائه کند. آندرسون و همکاران (۱۹۹۳) معتقدند رابطه بین شاخص‌های گیاهی و بیوماس به عواملی مانند تغییرزاویه خورشید، آب‌دو، پوشش‌های شبے‌برگی، آلودگی‌های جوی، سایه، وضعیت گیاه و میزان توده خشک سریا بستگی دارد.

ژانگ و همکاران (۲۰۰۴) بیوماس بالای سطح زمین جنگل‌های ویسکانسین شمالی در ایالت متحده را با استفاده از داده‌های ماهواره لنdest ۷ تخمین زدند. براساس این بررسی، تخمین بیوماس برای جنگل‌های چوب سخت به انکاس مادون قرمز نزدیک و برای جنگل‌های کاج به شاخص^۴ NDVIc وابسته بود. در مطالعه‌ای که سلیمانی و همکاران (۲۰۰۷) برای برآورد تولید با استفاده از داده‌های ماهواره‌ای لنdest^۵ در زیرحوزه سفیدآب سد لار انجام دادند، نتایج نشان داد که بین شاخص‌های گیاهی مورد استفاده و داده‌های میدانی، همبستگی بالایی وجود دارد و از بین شاخص‌های گیاهی استفاده شده، شاخص^۶ NIR

آگاهی از تولید از مهم‌ترین اطلاعات مورد نیاز برای تعیین ظرفیت و مدیریت مراتع به شمار می‌آید. تولید عبارت است از رشد سال جاری گیاهان در واحد سطح و یا به بیان دیگر میزان افزایش بیوماس در دوره زمانی معین در یک سطح معین (مقدم، ۲۰۰۱). اندازه‌گیری تولید که یکی از موارد قابل اندازه‌گیری در مطالعات پوشش است از اوایل قرن بیست آغاز شده است. در ارزیابی و اندازه‌گیری مرتع عموماً زمان محدود و محدودیت کارشناسی نیز وجود دارد، لذا روشی که انتخاب می‌شود ضمن اینکه باید سریع باشد، باید از دقت کافی نیز برخوردار باشد (سلیمانی و همکاران، ۲۰۰۷ و خوانین‌زاده، ۲۰۰۹). تاکنون به منظور برآورد تولید مرتع روش‌های متعددی ابداع شده است که کاربرد هر یک بستگی به هدف اندازه‌گیری، ساختار، ترکیب پوشش گیاهی، نوع گونه، دقت و امکانات در دسترس دارد. اندازه‌گیری تولید علوفه مراتع یکی از مسائل مهم در تعیین ظرفیت چرای مرتع قلمداد می‌شود. داده‌های ماهواره‌ای به منظور گسترش و مدیریت منابع مرتعی همواره در تأمین اطلاعات لازم در جنبه‌های مختلف جوامع گیاهی دارای اهمیت بوده‌اند. اندازه‌گیری طیفی از خصوصیات مختلف پوشش گیاهی از جمله بیوماس از طریق سنجش از دور موقتی آمیز بوده است (هال و همکاران، ۱۹۹۳). سنجش از دور قادر به فراهم کردن اطلاعات توزیع شده مکانی و زمانی راجع به پوشش گیاهی، بیوماس و شاخص سطح برگ است (دنته همکاران، ۲۰۰۸).

برای اندازه‌گیری خصوصیات مراتع به کمک داده‌های سنجش از دور- از جمله پوشش و تولید - از شاخص‌هایی موسوم به شاخص‌های گیاهی استفاده می‌شود. طی سه دهه گذشته شاخص‌های گیاهی متعددی برای بالا بردن حساسیت به سیگنال‌های گیاهان سبز و کاهش اثر فاکتورهای خارجی از قبیل خاک و اتمسفر بنا نهاده شده‌اند (سیمس و گامون، ۲۰۰۲). شاخص گیاهی ایده‌آل بایستی به میزان بالای

1. Noise

2. Ratio Vegetation Index

3. Normalized Difference Vegetation Index

4. Corrected Normalized Difference Vegetation Index

5. Thematic Mapper

6. Near Infrared

منطقه رخ می‌دهد و نتایج آن میزان حساسیت سنجنده را به میزان تولید مرتع در شرایط خشک آشکار خواهد ساخت. همچنین در این مطالعه شاخص‌های گیاهی متداول برای برآورد تولید گیاهان مرتعی ارزیابی و مناسب‌ترین آنها معرفی می‌شود. با رعایت اصول همزمانی برداشت داده‌های ماهواره‌ای و داده‌های میدانی انجام شد. آنچه این مطالعه را از دیگر تحقیقات مشابه تمایز می‌کند آن است که مطالعه در ابتدای فصل رشد در ۹ اردیبهشت ماه سال ۱۳۸۷ انجام گرفت، در حالی که در پاییز و زمستان سال ۱۳۸۶ خشکسالی شدیدی بر منطقه مطالعاتی مستولی بود، و این زمان به دلیل اینکه دامداران محلی و عشایر برای ورود به مرتع تعجیل دارند بسیار بالهمیت است.

۲- مواد و روش‌ها

۲-۱- منطقه مورد مطالعه

منطقه تنگ‌صیاد ناحیه‌ای کوهستانی و مرتفع با مختصات جغرافیایی ۵۹° ۵۰' تا ۹° ۵۱' طول شرقی و ۳۲° ۳۲' تا ۳۲° ۱۷' عرض شمالی است و حدود ۲۷۰۰ هکتار مساحت دارد. این محدوده از نظر تقسیمات کشوری، در بخش شرقی شهرستان شهرکرد و بخش غربی شهرستان بروجن، در استان چهارمحال و بختیاری واقع شده و فاصله آن تا شهرکرد (مرکز استان) حدود ۱۵ کیلومتر است (شکل ۱). متوسط بارش سالیانه منطقه ۴۲۴ میلی‌متر و متوسط درجه حرارت سالانه منطقه براساس ایستگاه سینوپتیک شهرکرد حدود ۱۱/۵ درجه سانتی‌گراد است. ارتفاع منطقه بین ۲۰۰۰ تا ۳۱۰۰ متر از سطح دریا است. در این منطقه ۲۰ تیپ گیاهی تشخیص داده شده (جدول ۱) و حدود ۲۵۰ گونه گیاهی متعلق به ۵۲ تیره‌شناسایی شده است. تیره‌های گیاهی مهم منطقه

مناسب‌ترین شاخص برای برآورد بیوماس در آن منطقه است و امکان تخمین دقیق تولید مرتع از طریق اطلاعات لندست TM به همراه نقاط کنترل زمینی وجود دارد.

لوریس و دامیانو (۲۰۰۶) شاخصی را به عنوان نسبت علفی سبز^۱ معرفی کردند که عبارت است از نسبت توده زنده^۲ به مجموع توده زنده و توده گیاهی غیرزنده^۳ و گزارش کردند که این شاخص با شاخص Green-NDVI که جیتلسن و همکاران (۱۹۹۶) با استفاده از باندهای ماهواره IRS-P6 LISS-III به دست آورده‌اند، همبستگی معنی‌داری را نشان می‌دهد. محققان مذکور شاخص Green-NDVI را به عنوان مهم‌ترین شاخص فعالیت فتوسنتزی، شرایط خاک اقلیمی^۴ و مرحله فنولوژیکی در گراسلندهای ایتالیا Green-NDVI شامل باندهای فروسرخ نزدیک و سبز با اطلاعات گیاهی همبستگی معنی‌داری را نشان می‌دهد. گیرکن و ایلایوی (۲۰۰۴) به کمک داده‌های IRS-1C مرتع بهشت چرا شده را در سوریه از مرتع کمتر چرا شده جدا کردند.

دولت هند در سال ۱۹۹۸، ماهواره IRS-1A را با سنجنده LISSI پرتاب کرد. این سنجنده در نسل‌های بعدی ماهواره‌های هند تکمیل شد و به سنجنده LISS-II تبدیل گردید و به استثنای ماهواره‌های P5، P4 و IRS-P6 ۲۰۰۳ روی ماهواره LISS-III در چهار باند سبز، قرمز، فروسرخ و فروسرخ میانی بر روی ماهواره IRS-1C نصب شده است و داده‌های زمینی را برداشت می‌کند (ریچاردز و جیا، ۲۰۰۶).

هدف از این مطالعه امکان سنجی برآورد تولید گیاهان مرتعی در منطقه تنگ‌صیاد از توابع استان چهارمحال و بختیاری به کمک داده‌های ماهواره‌ای IRS است. برآورد تولید در ابتدای فصل رشد و در مناطق نیمه‌خشک از نیازهای عمده مدیریت مرتع است که می‌تواند در صدور مجوز ورود دام به مرتع راهگشا باشد. مطالعه حاضر در شرایط خشکسالی در

1. Green Herbage Ratio

2. Biomass

3. Necromass

4. Pedoclimatic

مکانی و میدانی به شرح زیر است:
داده‌های مکانی شامل نقشه‌های توپوگرافی ۱:۲۵۰۰۰ سازمان نقشه‌برداری کشور (چاپ اول، ۱۳۷۸) به نام‌های فرج‌شهر (۶۱۵۴I SE)، خرآباد (۶۱۵۴ NE)، سفیددشت (۶۲۵۴ III NE)، فرادنبه (۶۲۵۴ III NW)، مزرعه چاه گرگ (۶۲۵۴ III SE)، سورک (۶۲۵۴ III SW) و کلیشادرخ (۶۲۵۴ IV SW) که برای بررسی منطقه و تصحیح هندسی تصاویر مورد استفاده قرار گرفتند.

ubaratand az: Compositeae, Chenopodiaceae, Caryophylaceae, Euphorbiaceae, Gramineae, Labiateae, Umbelliferae, Papilonaceae, Astragalus myricanthus susianus از قبیل در سطح منطقه به وفور یافت می‌شوند (سازمان حفاظت محیط زیست، ۲۰۰۲).

۲-۲- منابع داده‌ها

داده‌های مورد استفاده در این مطالعه شامل داده‌های



شکل ۱. موقعیت منطقه مطالعاتی در استان چهارمحال و بختیاری و کشور

جدول ۱. تیپ‌های گیاهی شناسایی شده در منطقه

شماره	نام تیپ	شماره	نام تیپ	شماره
۱	Ast. a. ^۱ + Ast. my. ² + Acan. m. ^۳ + Cou.t. ^۴	۱۱		
۲	Ast. sus. ^۵ + Ast. my+ Ast.spp ^۶ + Cou.t+ Grasses	۱۲		
۳	Ast. a+ Ast.spp+ Acan. m	۱۳		
۴	Ast.a+ Ast.sus+ Ast.g+ Acan.m	۱۴		
۵	Ast.my.+ Acan.m+ Cou.t+ Stip.h. ^۷	۱۵		
۶	Ast.my.+ Ast.spp+ Cou.t.	۱۶		
۷	Ast.my.+ Ast.spp+ Cou.t.+ Stip.h.	۱۷		
۸	Ast.my.+ Ast.sus.+ Ast.g. ^۸ + Cou.t.	۱۸		
۹	Ast.my.+ Cou.t.	۱۹		
۱۰	Ast.my.+ Cou.t.+ Stip.h.	۲۰		

منبع: سازمان حفاظت محیط زیست، ۲۰۰۲

شماره‌های ۱ تا ۱۴ معرف گونه‌های زیر هستند:

1. *Astragalus albispinus*, 2. *Astragalus myricanthus*, 3. *Acanthophyllum microcephalum*, 4. *Cousinia tenuiramula*, 5. *Astragalus susianus*, 6. *Astragalus* spp, 7. *Stipa hohenackeriana*, 8. *Astragalus gossypinus*, 9. *Hertia angustifolia*, 10. *Artemisia aucheri*, 11. *Daphne mucronata*, 12. *Psathyrostachys fragilis*, 13. *Rhamnus persica*, 14. *Astragalus echidnaeformis*

تخمین تولید مرتع با استفاده از داده‌های ماهواره IRS LISS III

انتخاب گردید. پس از مشخص شدن واحد نمونه‌برداری $70/5 \times 70/5$ متر است به عنوان یک واحد نمونه‌برداری انتخاب گردید.

پس از مشخص شدن واحد نمونه‌برداری $70/5 \times 70/5$ متری در داخل آن به صورت تصادفی ۱۲ محل برای پلات‌های نمونه‌برداری مشخص شد و اطلاعات جمع‌آوری شده ۱۰ پلات برای کالیبراسیون معادلات، و از ۱۲ پلات داخل واحد نمونه‌برداری اطلاعات ۲ پلات به صورت تصادفی برای اعتبارسنجی معادلات مورد استفاده قرار گرفتند.

میزان تولید گندمیان^۳، پهن برگان علفی^۴ و بوته‌ها^۵ با استفاده از روش قطع و توزین برآورد گردید. در این روش گیاهان موجود در داخل هر پلات برحسب فرم رویشی از سطح زمین (گندمیان و پهن برگان علفی) یا رشد سال جاری آنها (بوته‌ها) قطع گردید. نمونه‌ها پس از برداشت بلافتله در محل توزین شدند و وزن تر آنها یادداشت گردید. نمونه‌ها سپس به آزمایشگاه منتقل شدند و ضریب خشکی برای هر فرم رویشی به دست آمد و با استفاده از ضریب خشکی، میزان تولید خشک هر یک از فرم‌های رویشی و در نهایت تولید خشک منطقه به دست آمد.

داده‌های ماهواره IRS-1C LISS-III با قدرت تفکیک $23/5$ متر مربوط به ۲۸ آوریل ۲۰۰۸ مطابق با ۹ اردیبهشت ۱۳۸۷ و شامل چهار باند است (جدول ۲). در مورد داده‌های میدانی کوشش شد که در نزدیک‌ترین زمان پس از برداشت تصاویر ماهواره‌ای جمع‌آوری گرددند. این داده‌ها عبارت‌اند از داده‌های $30 \times 23/5 \times 23/5$ متر است، ابعاد واحدهای نمونه‌برداری $70/5 \times 70/5$ متر (۹ پیکسل) تعیین گردید. به منظور سهولت کار و کاهش حجم نمونه‌برداری در هر واحد، از ۱۲ پلات $2 \times 1/5 \times 1/5$ متری (در مجموع ۳۶۰ پلات) استفاده گردید (شکل ۲). لازم به توضیح است که معمولاً در هنگام کار میدانی در نظر گرفتن یک پیکسل منفرد برای اندازه‌گیری‌های میدانی همراه با عدم قطعیت بالایی است، زیرا طی عملیات اصلاح هندسی تصاویر ارزش یک پیکسل تحت تاثیر ارزش پیکسل‌های مجاور قرار می‌گیرد. بنابراین به جای اینکه معیار صرفاً ارزش یک پیکسل قرار گیرد، مجموعه‌ای از پیکسل‌ها که شامل مربعی از 3×3 پیکسل $23/5 \times 23/5$ متری یا ابعاد $70/5 \times 70/5$ متر است به عنوان یک واحد نمونه‌برداری

جدول ۲. خصوصیات ماهواره و داده‌های ماهواره‌ای IRS LISS-III

نام ماهواره: IRS-III	نام ماهواره: IRS-1C	
عرض تصویربرداری: 141 km مرئی و 148 km SWIR	قدرت تفکیک مکانی: $23/5 \text{ m}$	
قدرت تفکیک رادیومتری: 7 bit	دوره تکرار: ۲۴ روز	
دامنه ارزش‌های رقومی	تاریخ پرتاب و ارتفاع: $1994 \text{ و } 817 \text{ km}$	
دامنه ارزش‌های رقومی	باند	
$36-177$	$0/52-0/59$	LISS2
$20-186$	$0/62-0/68$	LISS3
$49-149$	$0/77-0/86$	LISS4
$35-111$	$1/55-1/70$	LISS5

منبع: ریچاردز و جیا، ۲۰۰۶

1. Geometric correction

2. Grasses

3. Forbs

4. Bushes

در این معادله:

$L_{\text{max}\lambda}$: میزان تشعشعی است که با $Q_{\text{cal max}}$ مطابقت دارد ($\text{m}^2 \cdot \text{sr} \cdot \mu\text{m}$).

$L_{\text{min}\lambda}$: میزان تشعشعی است که با $Q_{\text{cal min}}$ مطابقت دارد ($\text{m}^2 \cdot \text{sr} \cdot \mu\text{m}$).

$Q_{\text{cal min}}$ و $Q_{\text{cal max}}$ به ترتیب عبارت‌اند از حداقل و حداقل ارزش رقومی پیکسل‌ها هنگام کالیبراسیون که به ترتیب مطابق‌اند با حداقل و حداقل میزان تشعشع ثبت‌شده به‌وسیله سنجنده.

Q_{cal} : رقم کمی تصویر

با محاسبه مقدار تشعشع (L_λ) به کمک رابطه (۱)

امکان محاسبه میزان انعکاس^۴ (p_p) وجود دارد. رابطه

(۲) نحوه محاسبه انعکاس را نشان می‌دهد (لیسنند و همکاران، ۲۰۰۴):

$$p = \frac{\pi L_\lambda \cdot d^2}{E_{\text{sun}\lambda} \cdot \cos \theta^p} \quad (2)$$

در این معادله:

p_p : میزان انعکاس؛

L_λ : میزان تشعشع ($\text{m}^2 \cdot \text{sr} \cdot \mu\text{m}$);

d : فاصله زمین تا خورشید (واحد نجومی)؛

$E_{\text{sun}\lambda}$: میزان تشعشع خورشیدی در خارج از اتمسفر،

θ : زاویه انحراف تابش خورشید از خط عمود (درجه)؛ و

Π : معادل $3/14$ است.

برای تصحیح هندسی تصاویر از 16 نقطه کنترل زمینی^۵ که به کمک نقشه‌های توپوگرافی $1:25000$ و سامانه موقعیت جهانی مشخص شدند، استفاده شد. میزان خطای^۶ RMSe برای تصحیح هندسی تصاویر برابر 0.008 پیکسل بود.

1. Digital Value

2. Global Positioning System

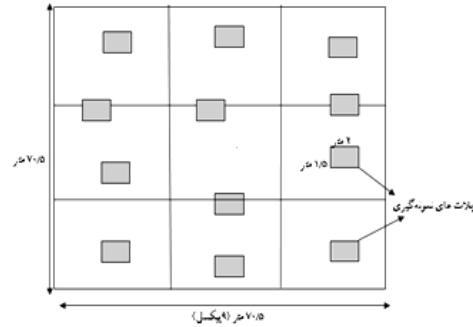
3. Radiation

4. Reflectance

5. Ground control point

6. Root Mean Square error

ارزش رقومی^۱ پیکسل‌های مربوط به 12 پلات نمونه‌برداری در تصاویر ماهواره‌ای با استفاده از مختصات جغرافیایی تعیین شده با دستگاه موقعیت‌یاب جهانی^۲ تعیین گردید. از بین 12 پلات هر واحد نمونه‌برداری، 2 پلات به صورت تصادفی انتخاب شد و برای اعتبارسنجی مورد استفاده قرار گرفت. میانگین داده‌های میدانی و ارزش‌های رقومی مربوط به 10 پلات نمونه‌برداری محاسبه شد و میانگین داده‌های میدانی و ارزش‌های رقومی 2 پلات منتخب نیز برای اعتبارسنجی به کار رفت.



شکل ۲. نمونه‌ای از واحد نمونه‌برداری و پراکنش پلات‌ها در داخل واحد نمونه‌برداری

۳-۳- پردازش تصاویر ماهواره‌ای

با توجه به خام بودن تصاویر ماهواره‌ای پردازش تصاویر در دو بخش انجام گردید، در نخستین گام تصحیحات رادیومتری انجام گردید و اطلاعات باندها به انعکاس تبدیل شدند. استفاده صرف از ارزش‌های رقومی پیکسل‌ها برای تشکیل شاخص‌های گیاهی برای بررسی‌های کیفی داخل یک تصویر و مقایسه نقاط مختلف یک تصویر به صورت کیفی کفایت می‌کند ولی برای محاسبه‌های کمی پارامترهای گیاهی به کمک شاخص‌های گیاهی، تبدیل باندهای خام به انعکاس ضروری است. برای تبدیل ارزش‌های رقومی به انعکاس ابتدا میزان تشعشع^۳ دریافتی توسط هر باند (L_λ) با استفاده از معادله شماره ۱ محاسبه شد (لیسنند و همکاران، ۲۰۰۴).

رابطه (۱)

$$= \left(\frac{L_{\text{max}\lambda} - L_{\text{min}\lambda}}{Q_{\text{cal max}} - Q_{\text{cal min}}} \right) \cdot (Q_{\text{cal}} - Q_{\text{cal min}}) + L_{\text{min}\lambda} \cdot L_\lambda$$

جدول ۳. شاخص‌های گیاهی مورد مطالعه

شاخص گیاهی	معادله	منبع
Normalized Difference Vegetation Index (NDVI) $(NIR - RED) / (NIR + RED)$		Rouse et al. (1974)
Green Normalized Difference Vegetation Index (GNDVI)	$(NIR-GREEN)/(NIR+GREEN)$	Gitelson et al. (1996)
Ratio Vegetation Index (RVI)	NIR/RED	Jordan (1969)
Perpendicular Vegetation Index (PVI)	$(NIR-a \times RED-b)/\sqrt{(a^2+1)}$	Richardson and Wiegand (1977)
Normalized Ratio Vegetation Index (NRVI)	$(RVI-1)/(RVI+1)$	Baret and Guyot (1991)
Weighted Difference Vegetation Index (WDVI)	$NIR-\gamma RED$	Clevers (1988)
Transformed Soil Adjusted Vegetation Index (TSAVI)	$a \times (NIR-a \times RED-b)/a \times NIR+RED-ab$	Baret et al (1989)
Soil Adjusted Vegetation Index (SAVI)	$[(NIR - R)/(NIR + R + 0.5)] \times 1.5$	Huete (1988)
Optimized Soil-Adjusted Vegetation Index (OSAVI)	$(NIR-RED)/(NIR+RED+0.16)$	Rondeaux et al. (1996)
Modified Soil Adjusted Vegetation Index (MSAVI2)	$0.5 \times ((2 \times (NIR+1)) - (((2 \times NIR)+1)^2 - 8 \times (NIR-red))^{0.5})$	Qi et al. (1994)
Infrared Percentage Vegetation Index (IPVI)	$NIR/(NIR+RED)$	Crippen (1990)
Infrared Index (IR)	$(NIR-MIR)/(NIR+MIR)$	Arzani (2002)
Transformed Vegetation Index (TVI)	$0.5[120(R_{750}-R_{550})-200(R_{670}+R_{550})]$	Broge and Leblanc (2000)
Modified Second Triangular Vegetation Index (MTVI2)	$1.5 \times [1.2 \times (NIR-G) - 2.5 \times (R-G)] / [(2 \times NIR + 1)^{0.5} - (6 \times NIR - 5 \times \sqrt{RED}) - 0.5]^{0.5}$	Haboudane et al. (2004)
Reflectance Absorbtion Index (RA)	$NIR/(RED+MIR)$	Arzani (2002)
Modified Normalized Difference Vegetation Index (MNDVI)	$(NIR-(1.2 \times RED))/(NIR+RED)$	Arzani (2002)
Middle Infrared Vegetation Index (MIRV2)	$(MIR-RED)/(MIR+RED)$	Arzani (2002)
Difference Vegetation Index (DVI)	$NIR-RED$	Tucker (1979)
Renormalized Difference Vegetation Index (RDVI)	$(NIR-RED)/\sqrt{(NIR+RED)}$	Roujean and Breon (1995)
Nonlinear Vegetation Index (NLI)	$(NIR_2 - RED) / (NIR_2 + RED)$	Goel and Qin (1994)
Modified Simple Ratio (MSR)	$(NIR/RED-1)/\sqrt{(NIR/RED+1)}$	Chen (1996)
Greenness Index (GI)	$NIR/GREEN-1$	Gitelson et al. (2004)
Moisture Stress Index (MSI)	MIR/NIR	Rock et al. (1986)

گردید. جدول ۳ معادلات ۲۳ شاخص گیاهی را نشان می‌دهد که در این مطالعه مورد ارزیابی قرار گرفتند.

برای بررسی قابلیت داده‌های ماهواره‌ای به منظور برآورد

۴-۲- محاسبه شاخص‌های گیاهی^۱

در مطالعات مربوط به تولید و عملکرد گیاهان مرتعی از شاخص‌های گیاهی متعددی استفاده شده است. انتخاب شاخص گیاهی مناسب برای هر منطقه از حساس‌ترین مراحل کار برشمرده می‌شود. در این مطالعه به منظور برآورد پارامتر تولید گیاهی از شاخص‌های معمول و رایج ارائه شده از سوی پژوهشگران مختلف استفاده

1. Vegetation Indices

در این معادلات $Z_{(xi)}$, $Z_{(xi)}^*$, $\sigma_{(xi)}$ و N به ترتیب عبارت‌اند از متغیر اندازه‌گیری شده، تخمینی، انحراف معیار مقادیر اندازه‌گیری شده و تعداد متغیرها. مقدار RV باید نزدیک یک و مقدار MEE باید تا حد امکان کوچک باشد (وبستر و اولیور، ۱۹۹۰).

۳- نتایج و بحث

۱-۱- تولید گندمیان

جدول ۴ وزن خشک گیاهان را در ۱۶ پلاس نمونه‌برداری نشان می‌دهد. خلاصه آماری کل پلان‌های برداشت‌شده نیز در جدول مذکور آورده شده است. همان‌طور که ملاحظه می‌شود بالاترین میانگین مربوط به وزن خشک بوته‌ها و پایین‌ترین میانگین مربوط به وزن خشک گیاهان پهنه‌برگ علفی است.

تولید، ابتدا ماتریس همبستگی بین داده‌های تولید با شاخص‌های گیاهی محاسبه شد و سپس با انتخاب شاخص‌ها با بالاترین ضریب همبستگی، مناسب‌ترین مدل‌های رگرسیونی برای برآورد فاکتور تولید به کمک شاخص گیاهی تشکیل شد. داده‌های تولید شامل تولید گندمیان، فرب‌ها یا پهنه‌برگان علفی، بوته‌ها و تولید کل به عنوان متغیر وابسته و شاخص‌های گیاهی به عنوان متغیر مستقل در مدها قرار گرفتند. اعتبارسنجی مدل‌ها با محاسبه واریانس کاهش‌یافته^۱ (RV) و میانگین خطای تخمین^۲ (MEE) (رابطه‌های ۳ و ۴) انجام شدند.

$$RV = \frac{1}{N} \times \sum_{i=1}^N \left\{ \frac{Z_{(xi)} - Z_{(xi)}^*}{\sigma_{(xi)}} \right\}^2 \quad \text{رابطه (۳)}$$

$$MEE = \frac{1}{N} \times \sum_{i=1}^N (Z_{(xi)} - Z_{(xi)}^*) \quad \text{رابطه (۴)}$$

جدول ۴. نتایج نمونه‌برداری تعدادی از پلان‌های نمونه‌برداری شده

ردیف	شماره پلاس	وزن خشک (g)			شماره پلاس	وزن خشک (g)		
		گندمیان	پهنه‌برگ علفی	نمونه		گندمیان	پهنه‌برگ علفی	نمونه
۱	۱	۲۸/۳۵	۲/۴۶	۱۴/۲۷	۹	۴۷/۵۰	۴/۸	۲۸/۴
۲	۲	۳۰/۳۱	۸/۹۵	۲۰/۰۵	۱۰	۴۰/۶۹	۲/۲۱	۲۲/۰۳
۳	۳	۳۵/۳۳	۲۹/۲۸	۲۹/۶۰	۱۱	۲۵/۷۵	۹/۱۳	۲۵/۷۰
۴	۴	۳۰/۳۲	۱۲/۹۴	۴۱/۱۹	۱۲	۳۲/۵۹	۵/۸۷	۳۳/۲۲
۵	۵	۶۹/۹۱	۱/۳۷	۲۶/۲۸	۱۳	۲۵/۷۵	۱۲/۸۷	۲۴/۲۹
۶	۶	۷۱/۴۱	۶/۱۱	۱۱/۱۱	۱۴	۲۳/۶۳	۱/۸۰	۴۸/۹۸
۷	۷	۵۳/۹۸	۵/۷۶	۲۹/۵۲	۱۵	۳۲/۱۶	۵/۳۹	۱۲/۱۹
۸	۸	۳۶/۶۱	۵/۸۳	۱۲/۸۴	۱۶	۴۴/۸۰	۳/۳۶	۱۱/۳۰
۹	حداکثر	۱۴/۳۲	۶/۹۷	۱۱/۵۰	انحراف معیار	۷۱/۴۱	۲۹/۲۸	۴۸/۹۸
۱۰	حداقل	۴۱/۳۵	۷/۳۹	۲۰/۲۴	میانگین	۲۲/۶۳	۱/۳۶	۳/۱۰
۱۱	کشیدگی (Kurtosis)	۰/۸۷	۲/۰۷	۰/۵۶	چولگی (Skewness)	-۰/۳۲	۴/۱	-۰/۲۵

1. Reduced Variance

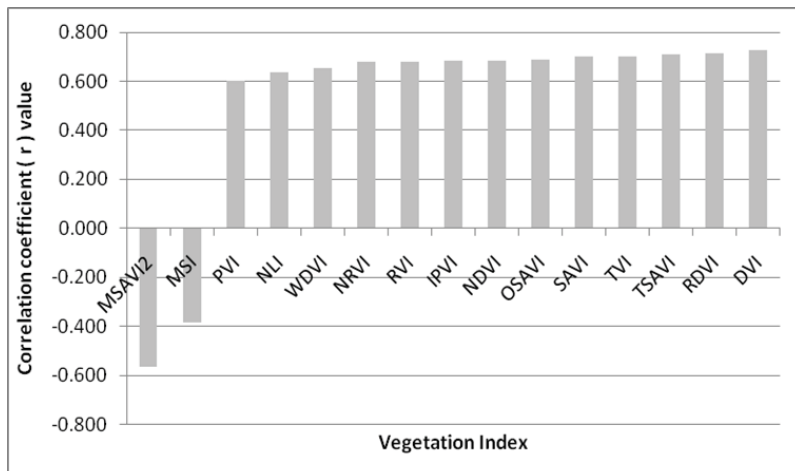
2. Mean Estimation Error

برآورد گردید (شکل ۵).

$$y = 3/55x - 377/21 \quad R^2 = 0.46 \quad (5)$$

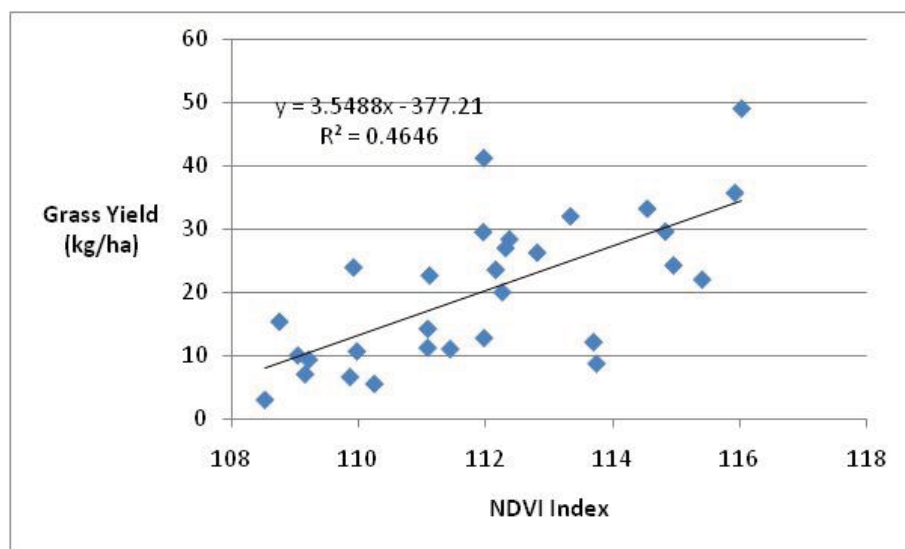
در این معادله x و y به ترتیب مقدار شاخص NDVI و میزان تولید بر حسب کیلوگرم بر هکتار هستند. شاخص‌های MEE و RV برای رابطه (5) به ترتیب برابر 0.13 و 0.63 هستند که نشان‌دهنده توانایی شاخص گیاهی NDVI برآورد تولید گندمیان است. جیان لونگ و همکاران (۱۹۹۸) ضریب همبستگی 0.679 را بین میزان عملکرد سبز گراسلندها و شاخص NDVI گزارش کردند. همچنین لونگ و همکاران (۲۰۱۰) با استفاده از داده‌های ماهواره MODIS شاخص NOVI گراسلندهای مناطقی از چین را محاسبه کردند و ضریب همبستگی 0.51 را بین شاخص NDVI و بیومس بخش هوایی گندمیان به دست آورdenد. این پژوهشگران گزارش کردند که ضریب 0.51 در حدی مورد قبول هست که بتوان براساس آن بیومس گندمیان منطقه را تعیین و ظرفیت دامی منطقه را مشخص کرد.

شکل ۳ شاخص‌های گیاهی را که همبستگی معنی‌داری (در سطح کمتر از 0.01 درصد) با تولید گندمیان دارند به ترتیب سعودی نشان می‌دهد. از بین این شاخص‌ها، شاخص^۱ DVI بالاترین و شاخص^۲ PVI کمترین ضریب همبستگی معنی‌دار را از خود نشان می‌دهند. قدر مطلق ضریب همبستگی شاخص‌های می‌گیرند. همبستگی نسبتاً قوی شاخص‌ها نشانگر امکان تخمین تولید گندمیان در ابتدای فصل رشد است. با توجه به اهمیت شاخص گیاهی تفاوت نرمال (NDVI) رابطه این شاخص با تولید گندمیان نیز بررسی شد (شکل ۴). همان‌طور که شکل ۴ نشان می‌دهد، امکان تخمین تولید این دسته از گیاهان به کمک معادلات رگرسیون خطی وجود دارد. با وجود اینکه سال آبی ۱۳۸۶ سالی خشک محسوب می‌شود، ولی با همان میزان بارندگی نازل گندمیان توانسته‌اند در ابتدای فصل رشد و تولید داشته باشند و سنجنده IRS توانسته است بین تولید این گونه گیاهان و پوشش‌های دیگر تمایز قائل شود. از رابطه (5) و نقشه NDVI میزان تولید گندمیان برای منطقه مورد مطالعه

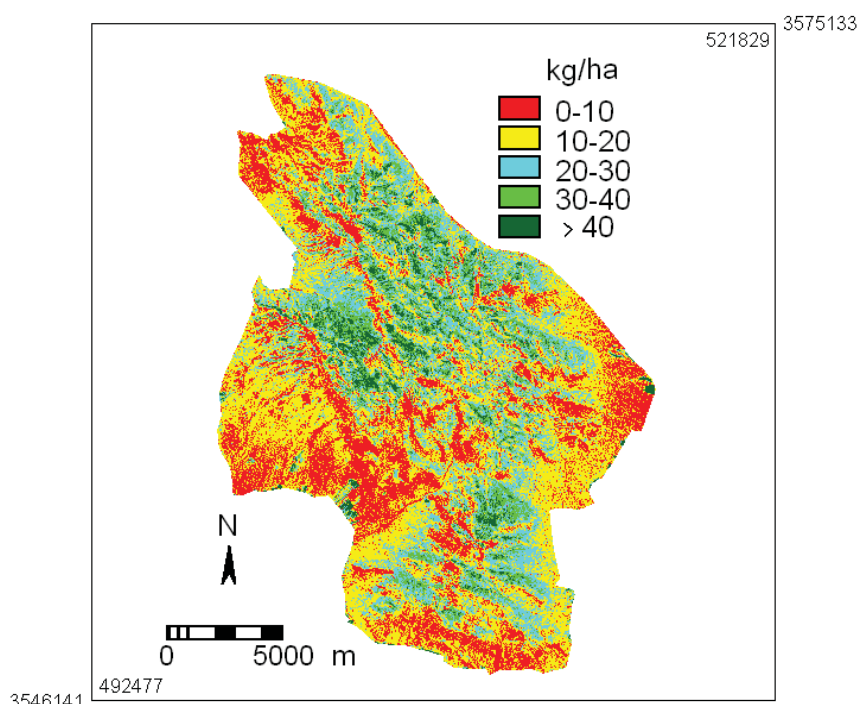


شکل ۳. مقادیر ضریب همبستگی تولید گندمیان و شاخص‌های گیاهی

1. Difference Vegetation Index
2. Perpendicular Vegetation Index
3. Moisture Vegetation Index
4. Modified Adjusted Vegetation Index



شکل ۴. رابطه بین تولید گندمیان و شاخص NDVI



شکل ۵. پهنه‌بندی میزان تولید گندمیان به کمک رابطه (۴) و NDVI

کشت گندم تخصیص یافته‌اند و نمونه‌برداری تولید در آنها انجام نشده است.

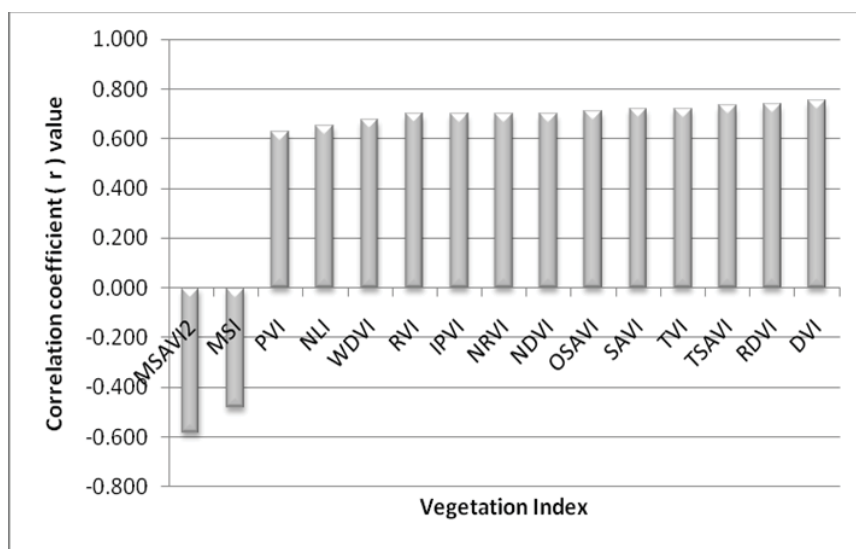
شکل ۵ نشان می‌دهد که میزان تولید گندمیان در مناطق مرکزی، بالاتر از مناطق حاشیه‌ای است. البته در حواشی منطقه (در شرق) مزارعی وجود دارند که به

میزان تولید گندمیان - بالاترین ضریب همبستگی را با شاخص DVI و کمترین ضریب همبستگی را با شاخص PVI دارند و قدر مطلق ضرایب همبستگی شاخص‌های MSAVI₂ و MSI بین این دو حد قرار می‌گیرند. با توجه به قوی بودن و معنی‌دار بودن ضرایب همبستگی، کلیه شاخص‌های نشان داده شده در شکل ۶ را می‌توان برای تخمین تولید مجموع این دو گروه گیاهی به کار برد.

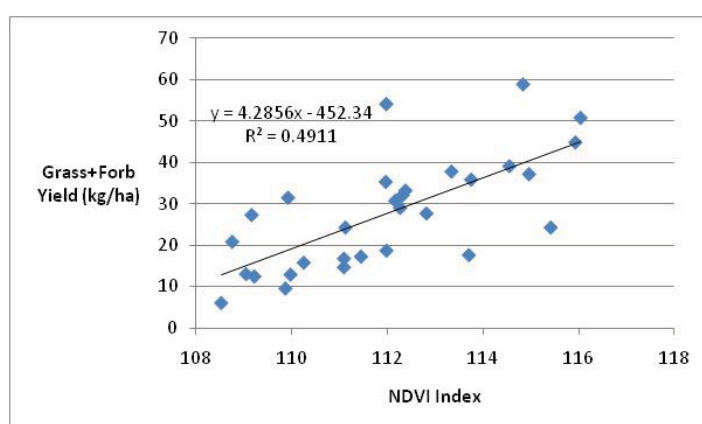
۲-۳- مجموع تولید گندمیان و گیاهان پهنه برگ علفی

رابطه همبستگی مجموع میزان تولید گندمیان و گیاهان پهنه برگ علفی با شاخص‌های گیاهی مورد بررسی قرار گرفت. شکل ۶ گروه شاخص‌های گیاهی را که با مجموع میزان تولید گندمیان و گیاهان پهنه برگ علفی همبستگی معنی‌داری در سطح کمتر از ۰/۰۱ دارند، نشان می‌دهد.

مجموع تولید این دو گروه از گیاهان - همچون



شکل ۶. مقادیر ضریب همبستگی مجموع تولید گندمیان - گیاهان پهنه برگ علفی و شاخص‌های گیاهی



شکل ۷. رابطه بین مجموع تولید گندمیان و گیاهان پهنه برگ علفی و شاخص NDVI

بخش‌های مرکزی و کمرتین میزان تولید در حاشیه منطقه وجود دارد.

برای بررسی امکان برآورد مجموع تولید سه گروه گیاهان موجود گندمیان، پهنه برگان علفی و بوته‌ها رابطه همبستگی آنها و شاخص‌های گیاهی محاسبه شدند. هیچ یک از شاخص‌ها در سطح کمتر از ۰/۰۱ معنی دار نیستند و شکل ۹ آن گروه از شاخص‌هایی را که در سطح کمتر از ۰/۰۵ معنی دارند نشان می‌دهد. شاخص NDVI بالاترین میزان همبستگی معنی دار مشیت را با میزان تولید کل دارد و البته قدر مطلق ضریب همبستگی شاخص MSI بالاترین ضریب است.

شکل ۱۰ رابطه همبستگی شاخص NDVI را نشان می‌دهد؛ که رابطه‌ای خطی است (رابطه (۷)).

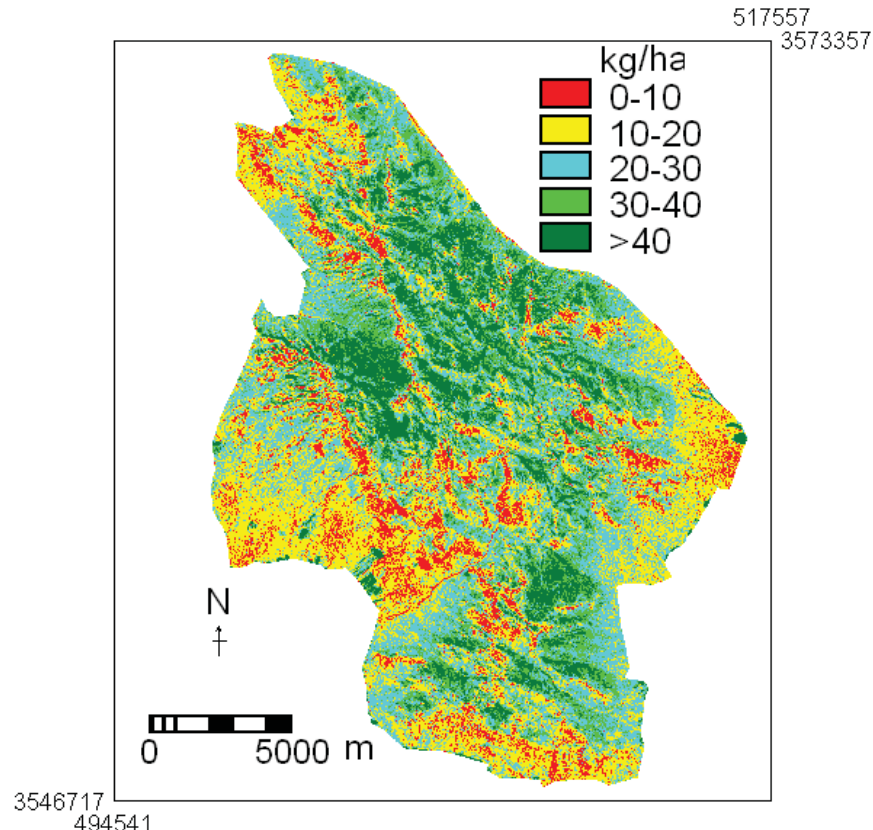
رابطه (۷)

$$y = 3/1223x - 280/71 \quad R^2 = 0/1585$$

با توجه به متدائل بودن شاخص NDVI و وجود همبستگی نسبتاً قوی بین این شاخص و مجموع تولید گندمیان و گیاهان پهنه برگ علفی، معادله رگرسیون خطی آنها در شکل ۷ نشان داده شده است. معادله رگرسیون خطی بین این دو متغیر عبارت است از:

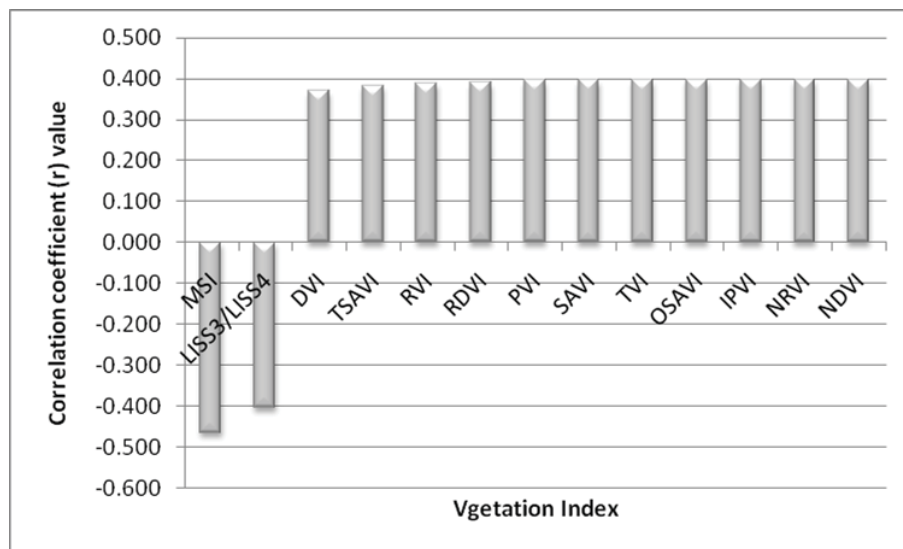
$$R^2 = 0/49 \quad y = 4/2856x - 452/34 \quad \text{رابطه (۶)}$$

در این معادله y مجموع تولید گندمیان و گیاهان پهنه برگ علفی و x مقدار شاخص NDVI است. شاخص‌های اعتبارسنجی واریانس تنزل یافته (RV) و میانگین خطای تخمین (MEE) برای معادله فوق به ترتیب برابر ۰/۶۲۹ و ۰/۳۵۱ است. به کمک رابطه (۶) و شاخص NDVI پهنه‌بندی، میزان تولید این دو گروه گیاهان انجام شد (شکل ۸). ملاحظه می‌شود که مقادیر تولید بیش از ۴۰ کیلوگرم در هکتار در

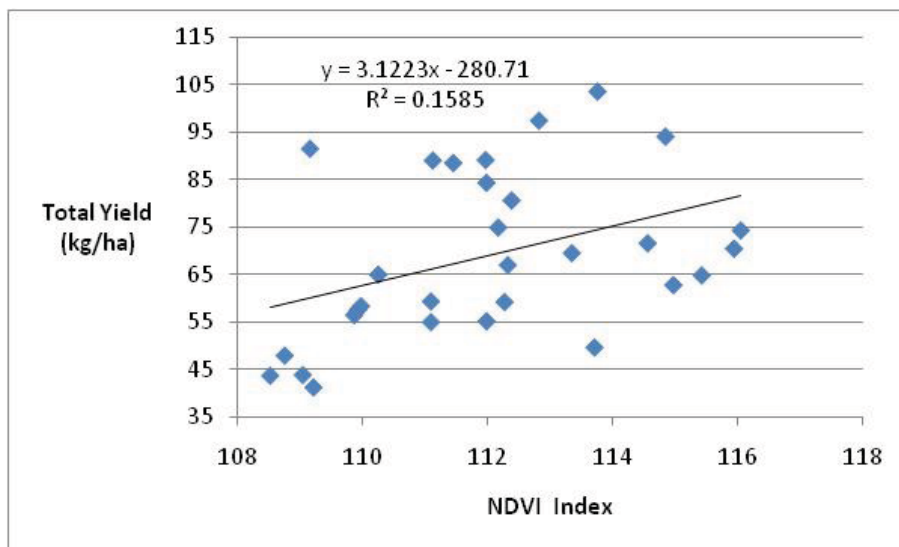


شکل ۸. پهنه‌بندی مجموع تولید گندمیان و گیاهان پهنه برگ علفی و شاخص NDVI

تخمین تولید مرتع با استفاده از داده‌های ماهواره IRS LISS III



شکل ۹. مقادیر ضرایب همبستگی تولید کل گیاهان و شاخص‌های گیاهی



شکل ۱۰. رابطه بین مجموع تولید کل گیاهان و شاخص NDVI

قطعیت بیشتری برای تخمین تولید کل وجود دارد، که می‌تواند به علت خطای اندازه‌گیری تولید بوته‌ها در شروع فصل باشد؛ زیرا تولید بوته در مقایسه با تولید گیاهان دیگر نظیر گندمیان بسیار اندک است و همین مقدار مختصر نیز کمتر در معرض سنجنده قرار می‌گیرد. لوریس و دامیانو (۲۰۰۴) ضریب تبیین ۰/۲۱

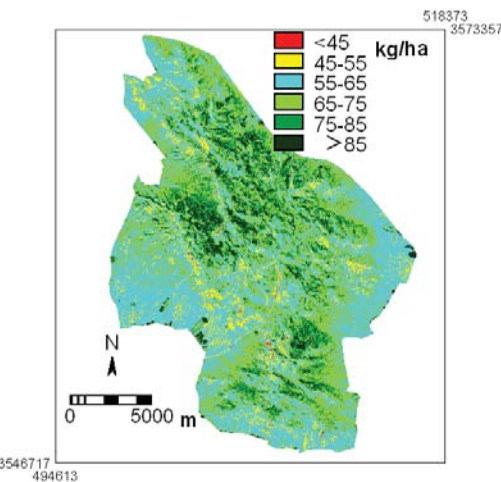
در رابطه (۷)، x ارزش شاخص گیاهی و y NDVI در میزان تولیدی کل (کیلوگرم در هکتار) است. شاخص‌های اعتبارسنجی مدل عبارت‌اند از واریانس تنزل‌یافته (R_V) و میانگین خطای تخمین (MEE) که به ترتیب برابر ۰/۶۳ و ۰/۵۰ است. با توجه به بالا بودن نسبی میانگین خطای تخمین به نظر می‌رسد که عدم

گیاهان در شروع فصل بهار بوده است. در این زمینه اشمیت و کارنیلی (۲۰۰۱) از مطالعاتشان در مناطق فوق العاده خشک گزارش کردند که به علت بازتاب زیاد خاک پس زمینه، ضرایب همبستگی گیاهان در این مناطق پایین است. گراتز و همکاران (۱۹۸۲) نیز در پی مطالعاتشان در مناطق خشک استرالیا گزارش کردند که در مناطق خشک و نیمه خشک به دلیل پراکنده و پایین بودن میزان شاخص سطح برگ گیاهان چندساله بازتاب بالایی در ناحیه مادون قرمز نزدیک ندارند.

برای تولید گندمیان، شاخص‌های گیاهی همبستگی نسبتاً بالایی نشان می‌دهند. دلیل این امر ممکن است رشد سبزینه‌ای این گروه از گیاهان در ابتدای فصل رشد تحت تأثیر چند بارش بهاری رخ داده شده باشد. فعالیت فتوسنتری نسبتاً بالای این گروه از گیاهان منجر به ثبت این فعالیت به وسیله سنجنده شده است. همچنین این گروه از گیاهان اندام‌های خشک کمتری دارند و مزاحمت کمتری برای ثبت آنها به وسیله سنجنده وجود دارد. در این زمینه جیان لانگ و همکاران (۱۹۹۸) نیز از تحقیقاتی که در گراسلندهای چین انجام دادند گزارش کردند که شاخص NDVI همبستگی نسبتاً بالایی با تولید علوفه تازه تیپ‌های مختلف گراسلندها دارد. این مطالعه نشان می‌دهد که علاوه بر باند مادون قرمز نزدیک (NIR)، باند مادون قرمز میانی (MIR) نیز توانایی برآورد تولید برخی از گروه گیاهان نظریه‌ها را دارد. بوید و همکاران (۱۹۹۶) و کوران و ویلیامسون (۱۹۸۵) نیز بر اهمیت باند مادون قرمز میانی در برآورد تولید گیاهان چندساله تأکید ورزیده‌اند. نتایج این مطالعه به طور کلی نشان‌دهنده توانایی داده‌های ماهواره IRS برای برآورد تولید گیاهان در شرایط خشک و نیمه خشک است - همان‌طور که در شرایط خشکسالی ۱۳۸۶ منطقه در ابتدای فصل با دقت مناسبی تولید مراتع را برآورد کرده است. با توجه به اینکه تصاویر موردن بررسی مربوط به ابتدای اردیبهشت ماه است و با گذشت زمان - مخصوصاً در خداداماه - پوشش گیاهی گسترش

را در رابطه برآورد توده زنده به کمک شاخص Green-NDVI گزارش کردند. شکل ۱۱ پنهان‌بندی میزان تولید مجموع سه گروه گیاهان مورد مطالعه را نشان می‌دهد که به کمک رابطه (۷) تهیه شده است. همان‌طور که شکل ۱۱ نشان می‌دهد، بیشترین میزان تولید مجموع گیاهان مرتعی در دامنه‌های داخلی منطقه وجود دارد و به جز قسمت‌هایی از نواحی حاشیه که زیر کشت غلات رفته‌اند، تولید در ابتدای فصل در نواحی حاشیه‌ای پایین قرار دارد.

تولید گیاهان پهن‌برگ علفی (فورب‌ها) به‌طور مستقل با هیچ‌یک از شاخص‌های گیاهی مورد بررسی، همبستگی معنی‌داری نشان نداد. احتمالاً تولید پایین این گروه از گیاهان در ابتدای فصل رشد و فعالیت فتوسنتر آنها به اندازه‌ای نبوده است که سنجنده بتواند آن را ثبت کند. تولید بوته‌ها نیز به‌طور مستقل با شاخص^۱ GNDVI و نسبت‌های^۴ LISS₄/LISS₅ همبستگی معنی‌داری (P < 0.05) را نشان می‌دهد.



شکل ۱۱. برآورد مجموع تولید کل گیاهان به کمک شاخص NDVI

پایین بودن ضرایب همبستگی خصوصاً در مورد برآورد میزان تولید بوته‌ها و گیاهان پهن‌برگ علفی به‌طور مستقل - همان‌طور که ذکر شد - به احتمال قوی به علت کاهش رشد سبزینه‌ای این دو گروه از

Radiance in Landsat TM Middle and Thermal Infrared Wavebands for the Detection of Tropical Forest Regeneration, International Journal of Remote Sensing, Vol. 17, PP. 249–261.

بیشتری می‌یابد، پیشنهاد می‌شود که در طی خردامه و اوایل تابستان که پوشش گیاهی بیشتری در منطقه وجود دارد، تصاویر ماهواره‌ای IRS مورد ارزیابی قرار گیرند.

Broge, N.M., and Leblanc, E., 2000, **Comparing Predictive Power and Stability of Broadband and Hyperspectral Vegetation Indices for Estimation of Green Leaf Area Index and Canopy Chlorophyll Density,** Remote Sensing of Environment, Vol. 76, PP. 156–172.

Chen, J. M., 1996, **Optically-based Methods for Measuring Seasonal Variation of Leaf Area Index in Boreal Conifer Stands,** Agricultural and Forest Meteorology, Vol. 80, PP. 135-163.

Clevers, J. G. P. W., 1988, **The Deviation of Simplified Reflectance Model for Estimation of Leaf Area Index,** Remote Sensing of Environment vol. 25, PP. 53-69.

Crippen, R.E., 1990, **Calculating the Vegetation Index Faster,** Remote Sensing of Environment Vol. 34, PP. 71-73.

Curran, P. J., and Williamson, H. D., 1985, **The Accuracy of Ground Data in Remote Sensing Investigations,** International Journal of Remote Sensing, Vol. 23 (10), PP. 1637-1651.

Dente, L., Satalino, G., Mattia, F., and Rinaldini, M., 2008, **Assimilation of Leaf Area Index Derived from ASAR and MERIS Data Into CERES-Wheat Model to Map Wheat Yield,** Remote Sensing of Environment, Vol. 112, PP. 1395–1407.

- منابع

Anderson, G. L., Hanson, F. D., and Haas, R. H., 1993, **Evaluating Landsat Thematic Mapper Derived Vegetation Indices for Estimating Aboveground Biomass Semiarid Rangelands,** Remote Sensing of Environment, Vol. 45, PP. 165-175.

Arzani, H., 2002, **Examination of Vegetation Indices for Vegetation Parameters Measurements in Semi Arid and Arid Area,** The Third International Iran and Russia Conference Agriculture and Natural Resources, Vol. 2, PP. 596-603.

Baret, F., and Guyot, G., 1991, **Potentials and Limits of Vegetation Indices for LAI and APAR Assessment,** Remote Sens. of Environ, 35, PP. 161-173.

Baret, F., Guyot, G., and Major D., 1989, **TSAVI: A Vegetation Index which Minimizes Soil Brightness Effects on LAI and APAR Estimation,** 12th Canadian Symposium on Remote Sensing and IGARSS "90", Vancouver, Canada, 4.

Boutton, T.W., Tieszen, L. L., 1983, **Estimation of Plant Biomass by Spectral Reflectance in an East African Grassland,** Journal Range Management, Vol. 36(2), PP. 213-216.

Boyd, D. S., Foody, G. M., Curran, P. J., Lucas, R. M., Honzak, M., 1996, **An Assessment of**

- Geerken, R., Ilaiwi, 2004, **Assessment of Rangeland Degradation and Development of Strategy for Rehabilitation**, Remote Sensing of Environment, Vol. 90, Issue 4, PP. 490-504.
- Gitelson, A. A., Kaufman, Y. J., and Merzlyak, M. N., 1996, **Use of Green Channel in Remote Sensing of Global Vegetation from EOS-MODIS**, Remote Sensing of Environment Vol. 58, PP. 289-298.
- Gitelson, A. A., Vina, A., Arkebauer, T. J., Rundquist, D. C., Keydan, G., Leavitt, B., 2004, **Remote Estimation of Leaf Area Index and Green Leaf Biomass in Maize Canopies**, Journal of Plant Physiology, 161, PP. 165–173.
- Goel, N. S., Qin, W., 1994, **Influences of Canopy Architecture on Relationships between Various Vegetation Indices and LAI and FPAR: A Computer Simulation**, Remote Sensing Reviews 10, PP. 309-347.
- Graetz, R. D., Gentle, M. R., Pech, R. P., and Drewien, G., 1983, **The Application of Landsat Image Data to Rangeland Assessment and Monitoring: An Example from South Australia**, Rangeland Journal, Vol. 5, pp. 63-73.
- Haboudane, D., Miller, J. R., Pattey, E., Zarco-Tejada, P. J., and Strachan, I., 2004, **Hyperspectral Vegetation Indices and Novel Algorithms for Predicting Green LAI of Crop Canopies: Modeling and Validation in the Context of Precision Agriculture**, Remote Sensing of Environment, Vol. 90, PP. 337-352.
- Hall, D. O., Scurlock, J. M. O., Bolhar-Nordenkampe, H. O., Leegood, R. C. and Long, S. P., 1993, **Photosynthesis and Production in a Changing Environment: A Field and Laboratory Manual**, Norwell, Massachusetts, USA.
- Huete, A.R., 1988, **A Soil Adjusted Vegetation Index (SAVI)**, Remote Sensing of Environment, Vol. 25, PP. 295–309.
- Iranian Department of Environment, 2002, **Management Plan of Conserved Region (National Park) of Tange Sayyad**, Vegetation cover (Vol. 10), Publication of Iranian Department of Environment (In Persian).
- Ji, L., and Peters, A. J., 2007, **Performance Evaluation of Spectral Vegetation Indices Using a Statistical Sensitivity Function**, Remote Sensing of Environment, Vol. 106, PP. 59–65.
- Jianlong, L., Tiangang, L., and Quangong, C., 1998, **Estimating Grassland Yields Using Remote Sensing and GIS Technologies in China**, New Zealand Journal of Agricultural Research, Vol. 41, PP. 31-38.
- Jordan, C.F., 1969, **Derivation of Leaf Area Index from Quality of Light on Forest Floor**, Ecology vol. 50, PP. 663-666.
- Khavaninazdeh, A. R. 2009, **Study the Possible Mapping of Vegetation Cover Using Landsat TM Data in Nayer Region-Yazd (Iran)**, M.Sc. Thesis in Rangeland Management, Natural Resources Faculty, Esfahan University of Technology (In Persian).

- Lillesands, T. M., Kiefer, R. W., Chapman, J. W., 2004. **Remote Sensing and Interpretation**, 5th ed. John Wiley and Sons, New York.
- Long, Y., Zhou, L., Liu, W. and Zhou Hua-Kun, 2010, Using remote sensing and GIS technology to estimate grass yield and livestock carrying capacity of Alpine Grasslands in Golog Prefecture, China. *Pedosphere* Vol. 20 No. 3, PP. 342-351.
- Loris, V., Damiano, G., 2006, Mapping the green herbage ratio of grassland using aerial and satellite derive spectral reflectance. *Agriculture, Ecosystem and Environment*, Vol. 115, Issues 1-4, PP. 141-149.
- Moghaddam, M. R., 2001, **Descriptive and Statistical Ecology of Vegetation Cover**, Tehran University Publication. (In Persian).
- Qi, J., Chehbouni, A., Huete, A.R., Kerr, Y.H., Sorooshian, S., 1994, **A Modified Soil Adjusted Vegetation Index**, *Remote Sensing of Environment* 48 (2), PP. 119–126.
- Richards, A. J., Jia, X., 2006, **Remote Sensing Digital Image Analysis, An Introduction**, 4th ed. Springer-Verlag Berlin Heidelberg.
- Richardson, A. J., Wiegand, A. L., 1977, **Distinguishing Vegetation from Soil Background Information**, *Photogrammetric Engineering and Remote Sensing*, Vol . 43, No. 12, PP. 1541-1552.
- Rock, B.N., Vogelmann, J. E., Williams, D. L., Vogelmann, A. F., Hoshisaki, T., 1986, **Remote Detection of Forest Damage**, *BioScience*, Vol. 36, PP. 439–445.
- Rondeaux, G., Steven, M., Baret, F., 1996, **Optimization of Soil- adjusted Vegetation Indices**, *Remote Sensing of Environment*, Vol. 55, PP. 98-107.
- Roujean, J.L., Breon, F. M., 1995, **Estimating PAR Absorbed by Vegetation from Bidirectional Reflectance Measurements**, *Remote Sensing of Environment*, 51, PP. 375–384.
- Rouse, J. W., 1974, **Monitoring the Vernal Advancement of Retrogradation of Natural Vegetation**. NASA/GSFS Type III, Final Report, Greenbelt, MD. 371 PP.
- Schmidt, H., Karnieli, A., 2001, **Sensitivity of Vegetation Indices to Substrate Brightness in Hyper Arid Environment: The Makhtesh Ramon Center Case Study**, *International Journal of Remote Sensing*, Vol. 17, pp. 3503-3520.
- Sims, D. A., Gamon, J. A., 2002, **Relationships Between Leaf Pigment Content and Spectral Reflectance Across a Wide Range of Species, Leaf Structures and Developmental Stages**, *Remote Sensing of Environment*, Vol. 81 (2–3), PP. 331–354.
- Soleimani, K., TamrTash, R., Alavi, F., Lotfi, S., 2007, **Application of Landsat TM Data for Estimation Rangeland Yield (A Case Study: Sub-basin of Sefidab, Lar Dam)**, *J. of Agriculture and Natural Resources Science and Technology*, Vol. 40, PP. 411-422.
- Tucker, C. J., 1979, **Red and Photographic Infrared Linear Combinations for Monitoring Vegetation**, *Remote Sensing of Environment*, Vol. 8, PP. 127-150.

Webster, R., Oliver, M. A., 1990, **Statistical Methods in Soil and Land Resource Survey**, Spatial Information Systems, Oxford University Press, Oxford, 316 P.

Zhang, D. L., Tong, Q., 1998, **Study of the Spectral Mixture Model of Soil and Vegetation in Poyang Lake Area China**, International Journal of Remote Sensing, Vol. 19, PP. 2077-2084.

Zhang, D., Rademacher, J., Chen, J., Crow, T., Bresee, M., Moine, J. L., and Ryu S. R., 2004, **Estimating Aboveground Biomass Using Landsat 7 ETM+ Data Across a Managed Landscape in Northern Wisconsin, USA**, Remote Sensing of Environment, Vol. 93, PP. 402–411.